

# بررسی و تحلیل تجربی خواص احتراق و ویژگی‌های فیزیکوشیمیایی نانوسوخت‌ها با استفاده از مکمل‌های نانوساختار هیبریدی

سید امیرحسین زمزمان<sup>\*</sup> (دانشجو)

سهیل رضازاده مفردنا (کارشناس)

محمد رضا پازوکی (کارشناس)

محمد پازوکی (استاد)

پژوهشگاه بود و نویزی، گروه پژوهشی انرژی خورشیدی

افزودنی‌های نانوساختار کاربرد گستردگی در صنایع مختلف به ویژه نیروگاه‌ها دارند و باعث کاهش مصرف ویژه سوخت<sup>۱</sup> و همچنین کاهش انتشار آلاینده‌ها می‌شوند. در این مطالعه، نانوذرات هیبریدی در سوخت‌های مازوت و دیزل پراکنده شده‌اند و ویژگی‌های فیزیکوشیمیایی نانوسوخت‌های ساخته شده بررسی شده‌اند. نتایج نشان داد که شدت ارزش حرارتی نانوسوخت پایه مازوت و پایه دیزل به ترتیب نسبت به سوخت‌های خالص مازوت و دیزل به میزان ۱۳٪/۴۱٪ و ۱۴٪/۲٪ بهبود پیدا کرده‌اند. بنابراین، نانوذرات اکسید فلزی و نانولوله‌های کربنی چنددیواره تأثیر قابل ملاحظه‌ای بر ویژگی‌های احتراقی سوخت دارند. به طور کلی، نمونه‌های بهبودی نانوسوخت بر پایه مازوت و دیزل همه‌ی ویژگی‌های یک سوخت ایده‌آل برای استفاده در فرآیند احتراقی را دارند و می‌توانند جایگزین مناسبی برای سوخت‌های مازوت و دیزل خالص باشند.

**واژگان کلیدی:** نانوسوخت، نانوذيل، نانوساختار هیبریدی، نانومازوت، احتراق.

azamzamian@merc.ac.ir  
srezazadeh69@gmail.com  
pazoukim.reza@gmail.com  
m.pazouki@merc.ac.ir

## ۱. مقدمه

سده بیست و یکم میلادی پرنگ شده است که به انجام پژوهش‌های متعددی در این زمینه منجر شده که البته اکثر قریب به اتفاق آنها در مقیاس آزمایشگاهی و با پایلوت کوچک مقیاس بوده‌اند. از میان کاربردهای یاد شده برای نانوسوخت‌ها، موتورهای درون‌سوز تراکمی که اساس دیزل - ژئزتورها را تشکیل می‌دهند، موتورهای درون‌سوز توربینی (اساس کار توربین‌های گازی نیروگاهی) و سامانه‌های چرخه‌ی بخار در صنعت برق کاربرد دارند و دیگر کاربردها موضوعیتی برای این مطالعه ندارند. تاکنون مطالعات مربوط به بررسی جامع جنبه‌های احتراق و پایداری نانوذرات مختلف پایه فلزی و اثر افزودن و معلق‌سازی آنها در مخلوط سوخت‌های دیزل و بیودیزل توسط موتور احتراق تراکمی در طول ۵ ساله اخیر انجام شده است.<sup>[۱]</sup> در دو دهه‌ی گذشته، کاربرد و استفاده از متابع سوخت پایه‌ی بیودیزل در موتورهای دیزلی، به دلیل مزایای مختلف زیست‌محیطی و اقتصادی آن ارجحیت یافته است.

زمینه‌های زیادی برای بهبود در عملکرد و کاهش انتشار آلاینده‌ها با بیودیزل به عنوان سوخت پایه وجود دارد. در سال‌های اخیر، استفاده از نانوذرات نیز به عنوان

افزودنی‌های نانوساختار از دو دهه‌ی پیش کاربرد گستردگی در صنایع گوناگون پیدا کرده‌اند؛ از جمله برای افزایش سرعت واکنش در راکتورهای شیمیایی، بهبود گیرایش و چسبندگی در کمپوزیت‌ها، بهبود ویژگی‌های مکانیکی و استحکام در فرآورده‌های جامد، افزایش اثربخشی در کاتالیست‌ها و بهبود ویژگی‌های ترمودینامیکی در سیالات مورد استفاده قرار می‌گیرند. در صنایع نیروگاهی به دلیل افزایش روزافزون مصرف سوخت‌های فسیلی با هدف پاسخ‌گویی به تقاضای روزافزون انرژی الکتریکی، که با افزایش انتشار آلاینده‌ها و تسریع روند پدیده‌ی اثر گلخانه‌ی همراه بوده است، توجه به تأثیر افزودنی‌های نانوساختار بر کاهش مصرف ویژه سوخت (سوخت مصرفی به ازای واحد تولید انرژی الکتریکی) و نیز بر کاهش پیدایش آلاینده‌ها در سامانه‌های تبدیل انرژی نیروگاهی (موتورزیترها، بویله‌ها و توربین‌های گازی) از آغاز

\* نویسنده مسئول

تاریخ: دریافت ۱۴۰۱/۴/۱، اصلاحیه ۱/۵/۸، پذیرش ۱۴۰۱/۵/۲۳، ۱۴۰۱/۵/۸.

DOI: 10.24200/J40.2022.60630.1645

استاد به این مقاله:

زمزمیان، سید امیرحسین، رضازاده منفردنا، سهیل، پازوکی، محمد رضا و پازوکی، محمد (۱۴۰۲). «بررسی و تحلیل تجربی خواص احتراق و ویژگی‌های فیزیکوشیمیایی نانوسوختها با استفاده از مکمل‌های نانوساختار هیبریدی». مهندسی مکانیک شریف، (۱)، ۳۹-۳، ص. ۶۷-۵۵

نانوذرات فلزی و غیرفلزی هر دو در ساختن نانوسوخت‌ها به کار گرفته شده‌اند که از میان نانوذرات پایه‌فلزی، این فلزات یا ترکیبات آنها (همچون اکسیدهای فلزی) بیشتر به چشم می‌خورد: آهن (Fe)، آلومینیوم (Al)، مس (Cu)، منگنز (Mn)، بر (B)، پلاتین (Pt)، بریلیم (Be)، تیتانیم (Ti)، روی (Zn)، نیکل (Ni) و سریم (Ce) همچنین از میان نانوذرات غیرفلزی می‌توان به این مواد برجسته اشاره کرد: کربن (C) در شکل‌های گوکانگون به ویژه نانولوله‌ها، انواع کانی‌های رسی، مواد الی (C) در شکل‌های اسپری و پلی‌اتوکسی استر و ذرات ترکیبی یا نانومواد هیبریدی<sup>۶</sup> ملاحظه شده است.<sup>[۱۲-۱۳]</sup>

این مطالعه با هدف صرفه‌جوئی در سوخت مصرفی نیروگاه‌ها انجام شده است. مطالعات کتابخانه‌یی بیش از ۵۰ مورد پژوهش بر روی یافته‌ها و دستاوردهای مربوط به افزودن مواد نانوساختار به سوخت‌های پایه مایع که در اکثر مواد افزودنی‌های نانوساختار به بهبود بازده حرارتی دستگاه‌های تبدیل انرژی و کاهش مصرف ویژه‌ی سوخت انجامیده و همچنین اثر مثبتی بر کاهش انتشارآلاینده‌ها داشته‌اند. در این پژوهش، هدف اصلی در واقع ساخت چرخه‌های احتراقی - حرارتی و بررسی پارامترهای حرارتی است که بتواند از نظر ساختار سوختی مواد تولیدی را مورد تأیید قرار دهد. تأیید پارامترها برای انتخاب نمونه‌های نهایی به منظور استفاده در محافظه‌ی احتراقی و بویلهای نیروگاهی از مواد حائز اهمیت بوده است.

## ۲. افزودنی‌های نانوساختار

در بررسی نانوسوخت‌های مایع، دسته‌بندی‌های متعددی از جهت نوع سوخت به کار رفته در تجهیز - به عنوان مثال سوخت فسیلی یا سوخت زیستی - و همچنین نوع تجهیز استفاده شده - مانند موتورهای درون‌سوز یا بویلهای - وجود دارند. در این قسمت تمرکز بر امکان‌سنجی استفاده از نانوذرات در سوخت فسیلی دیزل در موتورهای درون‌سوز به منظور بهبود کیفیت سوخت است. موتور و چرخه ترمودینامیکی دیزل به دلیل بازدهی بالاتر نسبت به سایر چرخه‌های ترمودینامیکی و همچنین انعطاف‌پذیری بالا و فعالیت زیاد سطحی بوده است که این خود منجر به پدیدار شدن لخته‌ها در نانوسوخت و گاهی انسداد مجرها و روزنه‌های انتقال یا پاشش سوخت خواهد شد. بررسی میزان کاهش اکسیدهای ازت از NO به گاز نیتروزن N<sub>2</sub> با واکنش با آهن در فضای غنی از سوخت و محیط اکسیداسیون صورت گرفته که به دلیل محدودیت انتشار اکسیدهای نیتروزن (NO<sub>x</sub>) از محافظه‌های احتراق ثابت هنوز یک موضوع مهم در زمینه‌ی حفاظت از محیط زیست طبیعی است. چند جنبه‌ی جدید از تحقیقات توصیف استفاده از آهن به عنوان یک افزودنی که بر کاهش NO در درجه حرارت‌های بالا تأثیر می‌گذارد، تاکنون ارائه شده است.<sup>[۴]</sup> بررسی‌های تجربی همچنین برای ویژگی‌های رولویزیکی نانوذرات اکسید تیتانیوم (TiO<sub>2</sub>) متعلق در محلوت سوخت دیزل و بیودیزل حاصل از استحصال روغن از گیاه درختچه‌ی افاقتی یا صبح عربی با نام علمی آکاسیا<sup>۵</sup> برای استفاده در موتور احتراق تراکمی انجام شده است.<sup>[۵]</sup> بهبود خواص سوخت پایه‌ی دیزل با استفاده از مواد افزودنی نیز انجام شده که در این تحقیق، ترکیبات آلی فلزات منگنز، منیزیم، مس و کلسیم سنتز شده و محلول‌های آنها به عنوان افزودنی سوخت دیزل مورد استفاده قرار گرفته است. مواد افزودنی که بیشترین کاهش در نقطه‌ی انجام سوخت دیزل، میزان بهینه‌ی دوز آن و سایر اثرات عملکرد را به دست آورند مورد آزمایش قرار گرفته است. نتایج نشان داد که منگنز پایه‌آلی بیشترین کاهش را در نقطه‌ی انجام داشته است. از طرفی مشخص شد که عدد ستان سوخت دیزل بدون افزودنی ۴۶/۲۲ و عدد ستان برای سوخت دیزل با مقدار بهینه‌ی غلظت ۴۸/۲۴ است. لذا مشاهده شد که منگنز پایه‌آلی سبب کاهش گرانروی و نقطه‌ی اشتعال می‌شود و محتویات گازهای خروجی را بهبود می‌بخشد.<sup>[۶]</sup> بررسی چندین پژوهش و نتایج مطالعات در دسترس نشان داده که

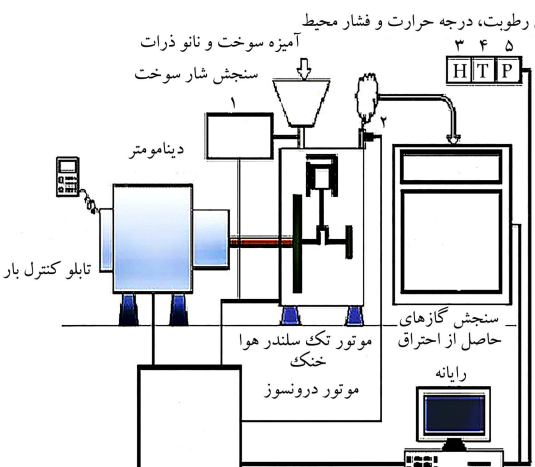
نانوفروزنی در گازوئیل، خواص حرارتی فیزیکی مانند نسبت سطح به حجم بالا قابلیت هدایت حرارتی و انتشار جرم را هنگامی که در هر محیط سیال پایه پراکنده می‌شوند، بهبود می‌بخشد. بر اساس نتایج موجود در مرور ادبیات متابع، مشخص شده است که نانوفروزنی‌ها با گازوئیل، بیودیزل و محلوت‌ها، بسته به غلظت افزودنی‌های نانوساختار، نقطه‌ی اشتعال، نقطه‌ی آتش،<sup>۷</sup> گرانروی سینماتیکی و سایر خواص را بهبود می‌بخشدند. در پژوهش‌های انجام شده تأثیر پراکنده‌گی نانوفروزنی‌های مختلف بر عملکرد و ویژگی‌های انتشار موتور احتراق دیزل به عنوان یک موتور احتراق فشرده یا تراکمی با نسبت تراکم بالا است که با سوخت پایه‌ی محلوت دیزل و بیودیزل است و مورد بررسی و تحلیل قرار گرفته است.<sup>[۸]</sup> پیشنهادی کاربرد افزودنی‌های نانوساختار به سوخت‌های مایع به پایان سده بیست و آغاز دهه ۲۰۰۰ میلادی بازمی‌گردد که نانو ذرات متفاوتی به سیلیکون پژوهش‌گران و دانشمندان با هدف بهبود ویژگی‌های احتراقی سوخت، بهبود شاخص‌های عملکردی موتورها یا سامانه‌های حرارتی تبدیل انرژی و کاهش انتشارآلاینده‌ها به کار گرفته شدند؛ به عنوان مثال تأثیر مواد افزودنی سوخت بر تشکیل کربن در طی احتراق نشان داده که افزودنی سوخت فروسن<sup>۹</sup> منجر به تشکیل هسته‌های احتراق قبل از تشکیل ذرات کربنی می‌شود. هسته‌های تراکم به احتمال زیاد اکسیدهای آهن هستند. ماده‌ی کربنی ترجیحاً در سطح هسته‌های اکسید آهن تراکم می‌شود، جایی که در آخرین مرحله احتراق می‌سوزد.<sup>[۱۰]</sup> بنیادی ترین شاخص‌هایی که در پژوهش‌های انجام شده بر روی سوخت‌های مایع با افزودنی‌های نانوساختار مد نظر قرار گرفته‌اند، قدرت مؤثر خروجی موتور، مصرف ویژه‌ی سوخت، بازدهی احتراق و میزان تعییرات در نزد انتشار آلاینده‌ها بوده‌اند. بخش عمده‌ی پژوهش‌های انجام شده روی افزودنی‌های نانوساختار به سوخت‌ها، افزایش فعالیت کاتالیتیکی در حین فرایند احتراق و دستیابی به کارایی بهتر در احتراق نانوسوخت‌ها را تأیید کردند؛ اما یکی از بزرگ‌ترین چالش‌های پیش روی نانوسوخت‌ها، تمايل نانوذرات به چسبیدن به هم و تجمعی در اثر سطح ویژه‌ی بالا و فعالیت زیاد سطحی بوده است که این خود منجر به پدیدار شدن لخته‌ها در نانوسوخت و گاهی انسداد مجرها و روزنه‌های انتقال یا پاشش سوخت خواهد شد. بررسی میزان کاهش اکسیدهای ازت از NO به گاز نیتروزن N<sub>2</sub> با واکنش با آهن در انتشار اکسیدهای نیتروزن (NO<sub>x</sub>) از محافظه‌های احتراق ثابت هنوز یک موضوع مهم در زمینه‌ی حفاظت از محیط زیست طبیعی است. چند جنبه‌ی جدید از تحقیقات توصیف استفاده از آهن به عنوان یک افزودنی که بر کاهش NO در درجه حرارت‌های بالا تأثیر می‌گذارد، تاکنون ارائه شده است.<sup>[۱۱]</sup> بررسی‌های تجربی همچنین برای ویژگی‌های رولویزیکی نانوذرات اکسید تیتانیوم (TiO<sub>2</sub>) متعلق در محلوت سوخت دیزل و بیودیزل حاصل از استحصال روغن از گیاه درختچه‌ی افاقتی یا صبح عربی با نام علمی آکاسیا<sup>۱۰</sup> برای استفاده در موتور احتراق تراکمی انجام شده است.<sup>[۱۱]</sup> بهبود خواص سوخت پایه‌ی دیزل با استفاده از مواد افزودنی نیز انجام شده که در این تحقیق، ترکیبات آلی فلزات منگنز، منیزیم، مس و کلسیم سنتز شده و محلول‌های آنها به عنوان افزودنی سوخت دیزل مورد استفاده قرار گرفته است. مواد افزودنی که بیشترین کاهش در نقطه‌ی انجام سوخت دیزل، میزان بهینه‌ی دوز آن و سایر اثرات عملکرد را به دست آورند مورد آزمایش قرار گرفته است. نتایج نشان داد که منگنز پایه‌آلی بیشترین کاهش را در نقطه‌ی انجام داشته است. از طرفی مشخص شد که عدد ستان سوخت دیزل بدون افزودنی ۴۶/۲۲ و عدد ستان برای سوخت دیزل با مقدار بهینه‌ی غلظت ۴۸/۲۴ است. لذا مشاهده شد که منگنز پایه‌آلی سبب کاهش گرانروی و نقطه‌ی اشتعال می‌شود و محتویات گازهای خروجی را بهبود می‌بخشد.<sup>[۱۱]</sup> بررسی چندین پژوهش و نتایج مطالعات در دسترس نشان داده که

نانو ذرات آلومینیا از نوع گاما<sup>۱۸</sup> از بازه اندازه ذرات ۲۷-۴۳ نانومتر و نانوذرات اکسید تیتانیوم (TiO<sub>2</sub>) از بازه اندازه ذرات ۳۰-۵۰ نانومتر برخوردار بودند. نانوساخت مورد استفاده از آمیزش مستقیم نانوذرات در غلظت مشخص شده با نفت‌گاز ساخته شد و به مدت یک ساعت در فرکانس ۴۰ کیلوهرتز در برابر امواج فراصوت (فراصوتی) عمل آوری شد. به این ترتیب درجه حرارت گازهای حاصل از فرایند احتراق در دودکش با افزایش غلظت نانوذرات افزوده، نسبت به احتراق نفت‌گاز خالص کاهش نشان داد و این کاهش در حالت استفاده از نانوذرات آلومینیا چشمگیرتر بوده است.

چنان که در جدول ۱ مشاهده می‌شود، اثر کاربرد نانوذرات بر کاهش انتشار منوکسیدکربن چشمگیر بوده اما بر غلظت اکسیدهای نیتروژن تأثیر محضوی نداشته؛ و نیز به دلیل ناچیز بودن غلظت اکسید گوگرد در گاز دودکش (با توجه به پایین بودن غلظت گوگرد در نفت‌گاز مصرفي، در ایران غلظت گوگرد در نفت‌گاز اغلب بالاست) امکان داوری درباره اثر نانوذرات افزوده بر تغییر غلظت SO<sub>x</sub> فراهم نبوده است. میزان تغییر بازده حرارتی احتراق نیز اندک بوده و در این پژوهش خاص نمی‌توان با صراحت گفت که کاربرد نانوذرات مورد اشاره سبب صرفه‌جویی در مصرف سوخت شده است. اما در یک اظهار نظر کلی می‌توان گفت که کاربرد نانوذرات اکسید آلومینیوم اثری بخشی بهتری نسبت به اکسید تیتانیوم داشته و با افزایش غلظت افزودنی نانوساختار در سوخت احتراق در مصارفی، اثری بخشی ها برینگ تر بوده است. اثرات افزودنی‌های نانوذرات به دیزل بر عملکرد احتراق و انتشار گازهای گلخانه‌یی دیگ بخار در یک مطالعه‌ی تجربی ارائه شده که سوخت نانوذيل با افزودن نانوذرات اکسید آلومینیوم (Al<sub>2</sub>O<sub>3</sub>) و اکسید تیتانیوم (TiO<sub>2</sub>) تهیه شده است. اندازه‌گیری‌های عملکرد و انتشار گازهای گلخانه‌یی در لوله‌های شعله‌ی دیگ بخار معکوس مسکونی، آب خنک، انجام شده است.<sup>۱۹</sup> کاهش متابع سوخت فسیلی و الرامات سخت‌گیرانه‌ی انتشار گازهای گلخانه‌یی، جست‌وجو برای بهبود عملکرد موتورهای دیزل و احتراق تمیزتر را جدی کرده است. اثرات افزودنی‌های مخلوط بیودیزل/دیزل بر عملکرد و انتشار موتورهای دیزلی به طور جامع در مطالعات مختلف بررسی شده است. افزودنی‌های بررسی شده به پنج دسته طبقه‌بندی شدن: افزودنی‌های اکسیزن دار، افزودنی‌های مبتنی بر فلز و غیرفلز، آب، آنتی اکسیدان‌ها و افزودنی‌های مبتنی بر پلیمر. اثرات هر دسته بر عملکرد موتور به عنوان مثال، مصرف سوخت ویژه‌ی ترمزو راندمان حرارتی ترمزو و انتشار گازهای آلاینده‌ی حاصل از احتراق شامل CO<sub>x</sub>, NO<sub>x</sub>, H<sub>2</sub>O و ذرات معلق به طور انحصاری مورد بحث قرار گرفته است. علاوه بر این، استراتژی‌های مختلف مورد استفاده برای افزودن آب، مانند امولسیون آب - دیزل، تربیق مستقیم آب و افزودن آب به مینیفولد<sup>۲۰</sup> و رویدی نشان داده شده و مزایا و معایب آنها به طور کامل مورد بررسی قرار گرفته است. در نهایت، فرسته‌ها و محدودیت‌های هر افزودنی با در نظر گرفتن عملکرد موتور و خوش‌خیم بودن احتراق برای هدایت تحقیق و توسعه‌ی آینده در این حوزه بیان خواهد شد.<sup>۲۱-۲۴</sup> تجزیه و تحلیل انرژی، اگزرزی و پایداری فرایند احتراق در یک موتور دیزل همراه با ۵ درصد آب به شکل امولسیون در سوخت پایه دیزل به صورت نانوساخت هیبریدی بر پایه نانولوله‌ی کربنی استوانه‌یی با غلظت ۲۵ ppm و نیز نانوذرات آلومینیا کروی با غلظت ۲۵ ppm به عنوان نانوافزودنی و به صورت تجربی بررسی شده است. نتایج تجربی نشان داده که استفاده از افزودنی نانو در آب در سوخت امولسیون دیزل باعث بهبود انرژی، پارامترهای عملکرد اگزرزی و پایداری موتور می‌شود. بنابراین، نانوساخت هیبریدی نانولوله‌ی کربنی وآلومینیا دارای پتانسیل بالایی برای تبدیل شدن به یک سوخت معمولی جایگزین برای موتورهای دیزلی بدون هیچ‌گونه تغییرات در طراحی است.<sup>۲۵</sup> لذا نانومواد خواص بسیار خوبی

معدنی از جمله نفت‌گاز (گازوئیل) و نفت کوره<sup>۱۶</sup> (مازوت) به انجام رسیده‌اند. در بیشتر پژوهش‌های انجام گرفته، تلاش شده است که احتراق، فیلتر شدن<sup>۱۷</sup> و شعله‌ور شدن<sup>۱۸</sup> سوخت‌های مایع آمیخته با نانوذرات بررسی و سنجیده شود. اما برخی دیگر بر عملکرد و کارایی سامانه‌ی حرارتی (موتور یا بویلر یا توربین) و انتشار آلاینده‌ها متمرکز بوده‌اند. علی‌رغم مزیت‌هایی که بیودیزل به عنوان سوخت جایگزین در چرخه دیزل دارد (در بالا به چند مورد از آنها اشاره شد)، استفاده از آنها به تنها در موتور دیزل با چالش‌هایی روبروست. از جمله این چالش‌ها می‌توان به بالا بودن گرانوی این نوع سوخت‌ها، چگالی بالاتر نسبت به سایر سوخت‌ها و نیز بالا رفتن مصرف سوخت موتور در صورت استفاده از آنها نام برد. چندین پژوهش روی اثر افزودنی‌های نانوساختار به سوخت نفت‌گاز (گازوئیل) و یا آمیزه‌ی نفت‌گاز - بیودیزل و سوخت‌های ترکیبی دیگر (همچون آمیزه نفت‌گاز - بیودیزل - اتانول موسوم به سوخت ترنزی) بر عملکرد موتورهای درون‌سوز تراکمی<sup>۱۵</sup> و میزان انتشار آلاینده‌ها انجام شده‌اند. سامانه تجربی بکار گرفته شده در این پژوهش‌ها مشتمل بر یک موتور درون‌سوز تراکمی (دیزل)، یک دینامومتر و یا مولد الکتریکی (ژنراتور) متصل به بار مصرف، آنالایزر گازهای احتراق، ابزارهای سنجش شدت جریان سوخت و شاخص‌های عملکردی و محیطی (از قبیل دما و رطوبت محیط، فشار سیلندر، توان موتور گشتاور، دمای گاز احتراق) و ابزارهای ثبت داده‌ها بوده‌اند که نمونه‌یی از چیدمان چنین سامانه‌ی در شکل ۱ دیده می‌شود.

یک مطالعه تجربی در مورد اثرات نانوذرات اضافه شده به سوخت‌های دیزل بر عملکرد احتراق و انتشار گازهای آلاینده در یک لوله‌ی مشعل دیگ بخار توسط باهای تپال اوغلو و همکاران ایشان بلال سونگور و هاکان اوزجان در گروه مهندسی مکانیک، دانشگاه اوندوکوز مایس شهر سامسون در کشور ترکیه انجام شده است.<sup>۱۶</sup> این مطالعات نشان داده که کاربرد نانو سوخت بر کاهش غلظت منوکسید کربن در گازهای خروجی از دودکش اثر مشتبی گذاشته و بیشترین کاهش در غلظت منوکسید کربن با به کارگیری نانو سوخت آلومینیوم اکساید در غلظت ۳۰ ppm به دست آمده است. به این ترتیب در مطالعات انجام شده توسط بهایتین تپال اوغلو و همکاران<sup>۱۷</sup> آنها همچنین ادعا کردند که بازدهی احتراق اندکی بهبود یافته و از ۹۰,۹٪ به ۹۰,۹٪ رسیده است؛ اما با نگرش به دقت اندازه‌گیری‌ها و درصد خطای در مطالعه مقدار آن در محاسبه‌ی راندمان عملکرد احتراق ۱٪ ± گزارش شده است، البته صحبت این ادعا از دید متعادل بودن فرایند طراحی آماری آزمایشات<sup>۱۸</sup> مورد تردید است. بویلر مورد استفاده از نوع دیگ با شعله‌ی واگشته<sup>۱۹</sup> بوده است.



شکل ۱. چیدمان سامانه سنجش اثر کاربرد نانو سوخت‌ها در موتور درون‌سوز تراکمی.

جدول ۱. چکیده یافته‌های کاربرد نفتگاز آمیخته با نانوذرات در بولیرهای خانگی.<sup>[۱۴]</sup>

نفتگاز با نانوذرات			نفتگاز خالص	شاخص/متغیر ارزیابی شده
TiO <sub>2</sub>	Al <sub>2</sub> O <sub>3</sub>			
۳۰۰	۳۰۰	۰		غلظت نانوذرات در سوخت (ppm)
۴۲,۵۱۵	۴۲,۵۳۰	۴۲,۵۱۳		ارزش گرمایی MJ/kg
۸۲۵,۸	۸۲۵,۹	۸۲۵		چگالی نسبی (kg/m <sup>۳</sup> )
۳,۴	۳,۴	۳,۵		گرانوی سینماتیک Viscosity mm <sup>۲</sup> /s
۵۱	۴۹	۵۲		نقطه اشتعال Flash point(°C)
تقریباً بدون تغییر	تقریباً بدون تغییر	۰,۸۶۶		نسبت جرمی کربن
تقریباً بدون تغییر	تقریباً بدون تغییر	۰,۱۲۳		نسبت جرمی هیدروژن
همانند	همانند	۵,۵		غلظت گوگرد (mg/kg)
۲۱۰	۷۵	۲۷۵	ppm	غلظت CO در گازهای احتراق
۲۳۰,۳	۲۲۸,۴	۲۴۰,۵	°C	دمای گاز احتراق در دودکش
۴۷	۵۱	۴۷	ppm	غلظت NO <sub>x</sub> در گازهای احتراق
< ۱	< ۱	< ۱	ppm	غلظت SO <sub>۲</sub> در گازهای احتراق

یک سوخت از مهم‌ترین پارامترهای مربوط به سوخت هاست. برای اندازه‌گیری جریان گرما جهت فرایندهایی که در آب صورت می‌گیرد می‌توان از گرماسنج استفاده کرد. اگر واکنش گرماده باشد موجب گرم شدن آب و بالا رفتن دما و در واقع درجه حرارت آن خواهد شد؛ در واکنش‌های گرمایی دمای آب کاهش می‌یابد. تعداد کالری‌ها یا میزان و مقدار انرژی حرارتی که از واکنش آزاد می‌شود، برابر با حاصل ضرب افزایش دما در ظرفیت کل گرماسنج و محتویات آن است که در ادامه معادلات محاسباتی کامل‌تر ارائه خواهد شد. این دستگاه یکی از مجموعه‌های آزمایشی برای بررسی و مطالعه‌ی تغییر رفتار احتراقی در شرایط مختلف است و امکان انجام آزمایشات مختلف روی سوخت‌های مختلف و طراحی شده را به ما می‌دهد. به طور کاملاً واضح می‌توان گفت که بمب کالری‌سنج و سیله‌ی است که به منظور تعیین گرما یا مقدار کالری در نمونه‌های سوخت جامد یا مایع و همچنین سوسپانسیون‌های سوختی کاملاً پایدار مانند نانوسوخت در حجم ثابت، به کار می‌رود. این دستگاه نمونه سوخت را به طور کامل سوزانده و گرمای حاصله را به جرم مشخص از آب منتقل می‌کند. با توجه به وزن نمونه سوخت و افزایش دمای آب، عدد کالری یا مقدار انرژی حاصل محاسبه می‌شود. عدد کالری در یک آزمایش بمب کالری‌سنج، بیان‌کننده‌ی گرمای حاصل از احتراق به ازای جرم واحد نمونه سوخت است. این گرما حاصل حرارت تولید شده هنگام سوختن نمونه، به علاوه‌ی گرمای گرفته شده از بخار آب تولید شده طی فرایندهای گلخانه‌ی دستگاه تعیین ارزش حرارتی یا دمای بمب است. لازم به ذکر است که نمونه‌های دستگاه تعیین ارزش حرارتی یا بمب کالری‌سنجی توسط شرکت‌های مختلف عرضه می‌شود، اما نمونه دستگاهی که کاملاً مطابق استانداردهای معتبر با حسگرهای با حساسیت بالاست به صورت سفارش طراحی ویژه در پروژه به کار گرفته شده است. برای طراحی و ساخت این دستگاه لازم است که بر اساس استاندارهای احتراقی و طراحی تجهیزات برای جلوگیری از حوادث اقتمام شود و از این جهت بهتر است که این دستگاه توسط تکنسین‌های طراحی آماده‌سازی شود. اما نمونه‌های دستی طراحی شده نیز در

از خود نشان می‌دهد و به آنها اجازه می‌دهد تا به عنوان افزودنی‌های سوخت برای بهبود ویژگی‌های موتور دیزل عمل کنند. مطالعات سال‌های اخیر پاتنسیل‌های منحصر به فرد نانومواد و فعالیت‌های آن‌ها در محافظه‌های احتراق و موتورهای دیزلی برای دستیابی به شرایط کاهش انتشار گازهای گلخانه‌یی مضر و عملکرد بهتر فرایند احتراق نشان داده شده است. اثرات سوخت‌های غنی شده با نانومواد هیبریدی بر ویژگی‌های احتراق و زیرسیستم‌های مربوط به احتراق و همچنین فرصت‌های مرتبط، شناسایی شده از نتایج آزمایش‌های به دست آمده در سال‌های اخیر، مورد بحث قرار گرفته‌اند. به این ترتیب بر اساس دو معیار، بهترین جفت‌های سوخت نانومواد پایه از مجموعه‌یی از نانومواد که اغلب آزمایش شده‌اند، به عنوان افزودنی‌های سوخت در محافظه‌های احتراق یا موتورهای دیزل شناسایی شده‌اند. این امر با بررسی نانومواد پایه از مجموعه‌یی از نانومواد به عنوان افزودنی‌های سوخت عمل می‌کنند، مورد توجه و حل قرار خواهد گرفت. در نهایت، خطرات زیستمحیطی و سلامت انسان، که طی تحقیقات سال‌های اخیر بروزشان آشکار شده، نیز بررسی و ملاحظه شده است. در صورت امکان، همچنین راه حل‌های بالقوه برای مشکلات برجسته نیز مورد بحث و بررسی قرار گرفته‌اند.<sup>[۳۶-۳۱]</sup>

### ۳. ساخت چرخه‌ی آزمون‌های احتراق

برای بررسی آزمایشگاهی نحوه‌ی احتراق هر سوخت لازم است بتوان چرخه‌یی دقیق و مؤثر و به صورت بسته در اندازه‌ی آزمایشگاهی و نیمه‌صنعتی تعریف کرد تا در عین حال بهترین دستاوردهای تحلیل از روند تغییرات شرایط صورت گیرد. برای این آزمایش، بهترین دستگاه که در اندازه‌ی آزمایشگاهی و ابعاد نیمه‌صنعتی می‌توان طراحی و تدوین کرد، دستگاه بمب کالری‌سنج است. به دست آوردن ارزش حرارتی



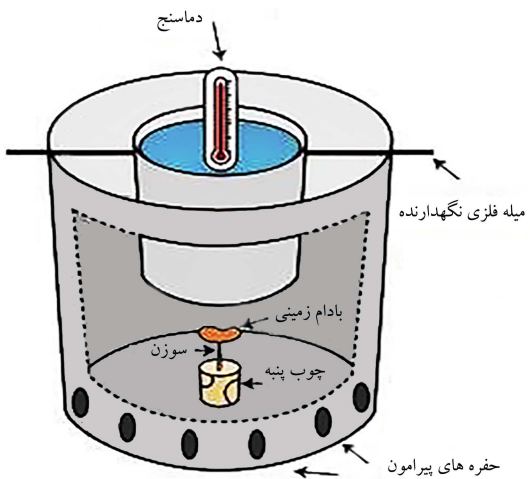
شکل ۴. بمب کالری سنج تهیه شده در پژوهشگاه مواد و انرژی.

اولیه و پایانی (پس از پایان واکنش) را یادداشت می‌کنیم. ضرب تغییرات دما با جرم و ظرفیت گرمای ویژه مایع، میزان انرژی خارج شده در طول واکنش (با فرض گرمای بودن واکنش) را ارائه می‌دهد. تقسیم تغییرات انرژی به تعداد مول‌ها  $X$  که در واکنش حضور داشتند نیز، تغییرات آنتاپی واکنش را ارائه می‌دهد. از این شیوه در آموزش‌های اولیه‌ی آکادمیک برای توصیف نظریه‌ی گرماسنجی استفاده می‌شود. میزان گرمایی که توسط محفظه از بین می‌رود یا ظرفیت گرمای دماسنج و محفظه‌ی آن را در نظر نمی‌گیرند. علاوه، نمونه‌ی که در داخل کالری سنج قرار می‌گیرد، انتقال گرما از نمونه به کالری سنج و به مایع و گرمای معادل جذب شده از کالری سنج و مایع با گرمای داده شده از فلز را نشان می‌دهد. چنان‌که اشاره شد تهیه‌ی دستگاه نمونه‌ی نیمه‌صنعتی از امیاز خاصی برخوردار بوده است که دستگاه تهیه شده در پژوهشگاه مواد و انرژی با سفارش طراحی و ساخت اجزاء از شرکت معترف رادمان صنعت انجام شده است (شکل ۴).

### ۲.۳. اجزای دستگاه

بمب گرماسنج یکی از بخش‌های مهم و اصلی دستگاه برای اندازه‌گیری خواص احتراقی است که به صورت کامل و مفصل اجزای آن تشريح و رووند بازگذاری سوخت در آن بررسی خواهد شد. در کنار بمب گرماسنج، دستگاه از اجزای دیگری نیز ساخته شده است:

۱. محفظه‌ی آب دوچاره از جنس استیل ضد زنگ، دارای ورودی و خروجی آب؛
۲. همزن الکتریکی دارای یک میله و دو یقه با سرعت گردش  $50^{\circ} \text{ ppm}$ ؛
۳. محفظه‌ی بمب و محتویات شامل بوته یا فنجانک، میله‌های احتراق، واير جرقه و سوپاپ اکسیژن از جنس استیل ضد زنگ؛
۴. جایگاه قرارگیری محفظه‌ی بمب برای باز و بسته کردن درب پیچی آن؛
۵. سیستم جرقه شامل سیستم تغذیه، اتصال واير به بمب واير جرقه و میله‌های احتراق؛
۶. حسگر الکترونیکی درجه حرارت با دقت  $1/1^{\circ}$  درجه‌ی سانتی‌گراد (دماسنج)؛
۷. کپسول اکسیژن و نازل تریق هوا با صفحه فشارسنج؛
۸. سیستم الکترونیکی، صفحه تابلو ویژه و نرم‌افزار مخصوص برای ثبت اطلاعات و ترسیم نمودارها؛
۹. کلید روشن و خاموش کردن دستگاه؛



شکل ۲. شماتیک طراحی بمب کالری سنج ساده.



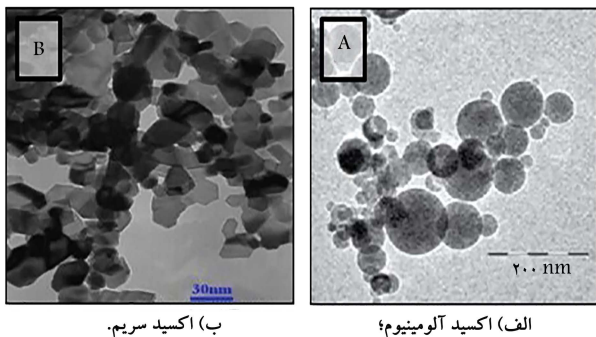
شکل ۳. نمونه‌های نیمه‌صنعتی بمب کالری سنج.

حد بسیار ساده موجود است که به صورت شماتیک در شکل ۲ نشان داده شده است.

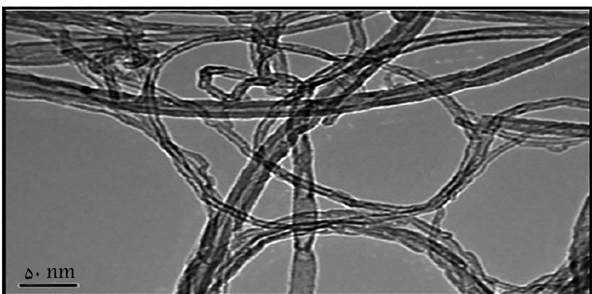
این دستگاه‌های دست‌ساز صرفاً در جهت اندازه‌گیری مقدار کالری‌های دانه‌های معزز مورد استفاده قرار می‌گیرد که نمی‌تواند نمونه‌ی دقیقی از یک ساختار مورد اطمینان برای اندازه‌های دندانه‌ی خواص احتراقی نانوسوخت‌ها در جهت رصد بهبود احتراق باشد. اما نمونه‌ی که در آزمایشات مدنظر مورد استفاده قرار گرفته است، نمونه‌ی نیمه‌صنعتی آن است که در آزمایشگاه انرژی نوین خورشیدی پژوهشگاه مواد و انرژی تهیه شده و مورد استفاده قرار گرفته است. در شکل ۳ به انواع نیمه‌صنعتی و آزمایشگاهی این دستگاه اشاره شده است.

### ۱.۳. تعیین خواص احتراق توسط بمب کالری سنج

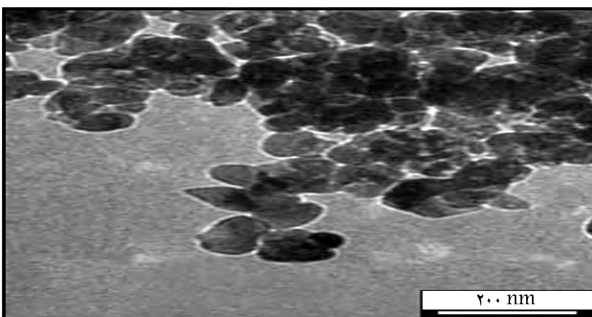
کالری سنج دستگاهی است که برای گرماسنجی، اندازه‌گیری دمای واکنش‌های شیمیایی و تغییرات فیزیکی و نیز ظرفیت گرمایی ویژه کاربرد دارد. معمول ترین انواع کالری سنج ها عبارت از: کالری سنج اسکن تفاضلی، کالری سنج هم دما (ایزوتمال)، کالری سنج سنجش حجمی (تیترسیون) و کالری سنج افزایش دهنده آهنگ واکنش. کالری سنج های ساده تنها متشکل از یک دماسنج متصل به ظرف فلزی بر از آب است که در بالای محفظه احتراق قرار دارد. برای پیدا کردن آنتالپی تغییرات هر مول ماده  $A$  در واکنش با  $B$ ، مایعات به داخل کالری سنج ریخته شده و دمای



شکل ۵. تصاویر TEM نانوذرات.



الف) نانولوله دوچاره؛



ب) اکسید زیرکنیوم.

شکل ۶. تصاویر TEM نانوذرات.

شده است. همچنین از اکسید زیرکنیوم نیز در تهیهٔ نانوسوخت هیبریدی به همراه نانوذرات نام برده شده استفاده شد. نمونه‌ی دیگر نیز از اکسید آلمینیوم به صورت تکی برای تهیهٔ نانوسوخت مورد استفاده قرار گرفت تا تأثیر حضور نانوذرات به صورت تکی در غلاظت‌های بالا مورد بررسی قرار گیرد.

نانوذرات اکسید سریم در ابعاد  $10-30$  نانومتر ساخت شرکت US-Nano محصول آمریکاست. اکسید آلمینیوم نیز در ابعاد  $40$  نانومتری از شرکت Plasma Chem ساخت کشور آلمان تهیه شده است. همچنین نانولوله‌های کربنی در حدود ابعاد  $10$  نانومتر از پژوهشگاه صنعت نفت تهیه شده است. تصاویر مربوط به میکروسکوب الکترونی عوری از نانوذرات اکسید سریم و اکسید آلمینیوم مورد استفاده نیز به ترتیب در شکل‌های ۵ و ۶ نشان داده شده است.

## ۶. تهیهٔ نانوسوخت‌های پایه دیزل و مازوت

نتایج تحقیقات حاکی از آن است که افزایش نانوذرات در سوخت در محدودهٔ مشخص می‌تواند در کاهش آلاینده‌ها و افزایش ارزش حرارتی سوخت مؤثر باشد.

جدول ۲. مشخصات نفت کوره سنگین یا مازوت تهیه شده.

خصوصیات	نتایج
گرانزوی سینماتیکی (در $50^{\circ}\text{C}$ )	۱۸۰ بیشینه
نقطه اشتغال ( $^{\circ}\text{C}$ )	۶۳ کمینه
نقطه ریزش ( $^{\circ}\text{C}$ )	۵ کمینه بیشینه
میزان گوگرد (%) وزنی)	۳٪ بیشینه
میزان خاکستر (%) وزنی)	۰٪ بیشینه
میزان آب و تنفسی (%) حجمی)	۰٪ بیشینه
ارزش حرارتی (MJ/Kg)	۴۲/۲ کمینه

جدول ۳. مشخصات گازوئیل تهیه شده.

خصوصیات	نتایج
گرانزوی سینماتیکی (در $50^{\circ}\text{C}$ )	۲/۱ بیشینه
نقطه اشتغال ( $^{\circ}\text{C}$ )	۵۰ بیشینه
نقطه ریزش ( $^{\circ}\text{C}$ )	۶ کمینه
میزان گوگرد (%) وزنی)	۰٪ بیشینه
میزان خاکستر (%) وزنی)	۰٪ بیشینه
میزان آب و تنفسی (%) حجمی)	۰٪ بیشینه
ارزش حرارتی (MJ/Kg)	۴۲/۶۷ کمینه

۱۰. موتور برای به گردش درآوردن آب محافظه و یکسان‌سازی درجه حرارت؛

۱۱. قطعه‌ی دانگل  $21$  برای برقراری ارتباط دستگاه با رایانه.

## ۴. تولید نانوسیالات پایه سوختی

### ۴.۱. مواد و روش‌های طراحی آزمایش

در این مطالعه چندین نمونه‌ی آزمایشگاهی تهیه شده و از این میان یک نمونه‌ی بهینه‌ی محصول نانوسوخت با پایه سوخت دیزل و همچنین مازوت معرفی شده است. تهیه‌ی نمونه‌های آزمایشگاهی به روش‌های مختلف مورد تحقیق و بررسی قرار گرفت و در انتها روش بهینه به منظور پاکنده‌سازی نانوذرات درون سوخت پایه دیزل و مازوت به کمک سیال کمکی، اختلاط سوخت دیزل با مازوت، مورد استفاده قرار گرفت. سوخت مازوت به کار رفته در این طرح با نام نفت کوره  $180$  از پالایشگاه تهران تهیه شده است. خصوصیات مازوت تهیه شده در جدول ۲ قابل مشاهده است. همچنین سوخت دیزل به کار رفته در این آزمایش گازوئیل رایج مورد استفاده در خودروهای دیزلی موجود در مراکز سوخت‌رسانی است و از این مراکز تهیه شده است. اطلاعات درمورد خصوصیات فیزیکی و شیمیایی و ترمودینامیکی سوخت گازوئیل در جدول ۳ قابل مشاهده است.

## ۵. مواد نانوساختار یا نانوذرات

با توجه به مطالعات انجام شده در خصوص تأثیر نانوذرات مختلف بر متغیرهای عملکردی و آلاینده‌ها در این تحقیق از نانوذرات اکسید سریم و اکسید آلمینیوم به دلیل بالاترین فراوانی استفاده در پژوهش‌های پیشین و فرهمن‌آوری سطح کاتالیستی مناسب و از نانولوله‌های کربنی چنددیواره برای افزایش محتوای کربن به منظور افزایش ارزش حرارتی به صورت هیبریدی برای سوخت‌های پایه مازوت استفاده

با توجه به مطالعات انجام شده در مورد نانوسوخت‌ها و افزودنی‌های نانو، از سه نوع نانوذره (سه مورد اکسید فلزی و یک مورد کربن)، به عنوان افزودنی‌های نانو به صورت هیبریدی و تکی به سوخت پایه مازوت خالص استفاده شده است.

- نمونه نانوسوخت تکی اکسیدآلومینیوم - مازوت: نمونه اولیه سوخت مازوت از حرارت دهنده مازوت در دمای  $100^{\circ}\text{C}$  برای کاهش گرانروی مازوت و امکان استفاده از همنز مغناطیسی برای پراکنده‌سازی نانوذرات اکسیدآلومینیوم استفاده شد. در ابتدا نانوذره اکسیدآلومینیوم به غلظت  $1000\text{ ppm}$  درون مازوت اضافه شد و به مدت  $30$  دقیقه روی همنز مغناطیسی و دمای بالا هم زده شد. نمونه‌ی تولید شده به این روش از این پس به اختصار MA $1000$  نامیده می‌شود. به علت گرانروی بسیار بالای مازوت و عدم تأثیر امواج فرماحتی در پراکنده‌ی ذرات از استفاده از دستگاه فرماحتی پروب دار صرف نظر شده است؛

- نمونه‌ی نانوسوخت هیبریدی (اکسیدآلومینیوم/اکسیدسریم/اکسید زیرکونیوم/نانولوله کربنی چند دیواره) - مازوت: به علت خصوصیات ویژه فیزیکی مازوت (گرانروی بسیار بالا) فرایند پراکنده‌سازی نانوذرات درون مازوت نسبت به روش‌های مطرح شده در تولید نانوذرل تفاوت داشته و استفاده از این فرایندها که پیش‌تر برای ایجاد نانوسوخت پایه دیزل مطرح شد، مانند همنز و دستگاه فرماحتی، در پراکنده‌سازی نانوذرات درون سیال محدودیت‌هایی به همراه دارد. به عبارتی هرچه گرانروی سیالی بیشتر شود از این امواج فرماحتی تولید شده توسعه دستگاه فرماحتی در طول حرکت درون سیال کم شده و از تأثیر این امواج در جداسازی ذرات به هم چسیده و پراکنده‌سازی آن در محیط می‌کاهد. بدین منظور برای اطمینان از پراکنده‌ی مناسب ذرات از روشی نوین در پراکنده‌سازی ذرات درون مازوت استفاده شده است. در این روش ابتدا باید محلولی کمکی حاوی نانوذرات پراکنده شده را در سیالی ثانویه (که گرانروی پایینی داشته) همانند روش‌های پیشین تهیه کرده و سپس، از اختلاط مازوت و محلول کمکی حاوی نانوذرات سوخت نانومازوت تهیه شود. به این ترتیب برای ایجاد یک ساختار هیبریدی چند مدل مختلف مورد آزمون و ارزیابی قرار گرفته‌اند تا در نهایت بهترین ساختار منتخب پیشنهاد شود. از سوخت دیزل به عنوان سیال ثانویه مورد استفاده در پراکنده‌سازی نانوذرات انتخاب شده است؛ دلیل این انتخاب، ماهیت هیدرورکربنی و سوختی آن بوده و لذا ضمن پخش ساده در درون مازوت، ارزش حرارتی آن نیز کاهش نمی‌یابد. برای ایجاد سوسپانسیون‌های کاملاً معلق و پایدار نانوذرات درون سیال کمکی با سوخت پایه دیزل از دستگاه حمام همگن‌ساز فرماحتی یا همنز فرماحتی مدل UP $40^{\circ}\text{S}$  شرکت هایشر Hielscher استفاده از حمام فرماحتی در پراکنده‌سازی ذرات درون دیزل، حجم کم نمونه‌ی مورد نیاز برای اضافه شدن به سوخت های پایه دیزل و مازوت است. در صورت نیاز به محلول هایی با حجم بیشتر می‌توان از دستگاه فرماحتی پروب دار نیز استفاده کرد. در ابتدا نانوذرات اکسیدآلومینیوم، اکسیدسریم، اکسید زیرکونیوم و نانولوله کربنی چند دیواره با غلظت  $20\text{ ppm}$  برای هر نانوذره به همراه  $20\text{ }\mu\text{m}$  در پروشکاتن درون سوخت دیزل تهیه می‌شود. برای پراکنده‌سازی نانوذرات درون سیال کمکی دیزل، ابتدا جرم مورد نیاز به منظور ایجاد غلظت مد نظر با استفاده از ترازوی الکترونیکی مدل CPA $100^{\circ}3\text{S}$ ، Sartorius به صورت دقیق توزین شده و سپس به درون دیزل اضافه می‌شود. در مرحله‌ی بعد سیال حاوی نانوذره به خوبی با دستگاه همزن هم زده می‌شود و به مدت  $15$  دقیقه درون حمام

## ۷. آزمایش‌های الکترونی روی نانوسیالات پایه سوختی

مجموعه‌ی آزمایش‌هایی که خواص رئولوژیکی، فیزیکی و الکترونی ساختارها را در جدول‌های  $4$  و  $5$  قابل مشاهده است.

جدول ۴. اطلاعات مربوط نانوسیال ثانویه یا سیال کمکی.

سیال کمکی	غلظت (ppm)	نانوذره
اکسیدآلومینیوم	$1000$	
اکسیدسریم	$1000$	DACe $1000\text{ C}_{20}$
نانولوله کربنی چند دیواره	$200$	
اکسیدآلومینیوم	$20$	
اکسیدسریم	$20$	DACeZC $20$
اکسید زیرکونیوم	$20$	
نانولوله کربنی چند دیواره	$20$	
اکسیدآلومینیوم	$15$	
اکسیدسریم	$15$	DACeZC $15$
اکسید زیرکونیوم	$15$	
نانولوله کربنی چند دیواره	$15$	

روش انجام آزمایش بدین طریق بود که ابتدا توسط چیلر، دمای مورد نظر درجه سانتی‌گراد انتخاب شد و زمان انذکی برای رسیدن دمای محفظه‌ی دستگاه به دمای مورد نظر داده شد. سپس مقدار ۳۰ میلی‌لیتر از نمونه به محفظه انتقال داده شد. سپس اسپیندل<sup>۲۲</sup> (دوك) مناسب برای مایعات دوغابی<sup>۲۳</sup> انتخاب شد زیرا ذرات نانو در محیط سوخت به صورت معلق حضور دارند. توسط نرم‌افزار دستگاه، میزان ۵۰ نقطه برای خوانش داده‌ها تنظیم شد و دستوری مبنی بر خواندن داده در هر ۵ ثانیه نیز به دستگاه داده شد. به طور کلی هر نمونه ۲۵۰ ثانیه در محفظه قرار داشت. محدوده‌ی تشخیص برشی دستگاه نیز بر اساس مقادیر تجربی و برای این‌که وسیع‌ترین بازه ممکن را شامل شود، بین ۱۰۰۰ تا ۱۰۰ لیتر بر ثانیه انتخاب شده است. خروجی دستگاه نیز نمودار تشخیص برشی<sup>۲۴</sup> بر حسب تشخیص<sup>۲۵</sup> و همچنین نمودار گرانزوی پویا بر حسب تشخیص برشی انتخاب شد.

## ۲. اندازه‌گیری چگالی

چگالی سوخت، یکی از خواص فیزیکی است که باید در محدوده‌ی استاندارد باشد تا بتواند کارایی لازم را به عنوان سوخت داشته باشد. معمولاً همه‌ی سوخت‌هایی که در محفظه‌ی احتراق سوزانده می‌شوند چگالی کمتر از ۱ گرم بر سانتی‌متر مکعب یا همان دانسیتی آب مقطر دارند. برای رصد این کمیت فیزیکی و اندازه‌گیری آن از روش وزن‌سنجدی با پیکنومتر استفاده شده است. چون این روش برای به دست آوردن دانسیتی در واقع دانسیتی نسبی را حاصل می‌کند، باید از یک محلول به عنوان محلول مرجع استفاده شود. در اینجا از آب دیوینز برای این منظور استفاده شده و چگالی هر نمونه با توجه به رابطه‌ی ۱ محاسبه می‌شود:

$$\rho_l = \frac{m_l}{m_{H_2O}} \times \rho_{H_2O} \quad (1)$$

برای افزایش دقت و کاهش هرچه بیشتر خطأ، برای هر آزمایش سه مرحله تکرار در نظر گرفته شده است.

## ۸. خواص حرارتی و احتراق نانوسوخت

یکی از معیارهای سنجش و مقایسه‌ی سوخت‌ها، مقدار انرژی حرارتی آزاد شده به آزاد واحد جرم آن سوخت است. ارزش حرارتی یک سوخت، مقدار گرمای آزاد شده در اثر احتراق واحد جرم آن سوخت تحت شرایط معین فشار و درجه حرارت است. بیشتر سوخت‌های ترکیباتی از کربن و هیدروژن دارند که عامل‌های اصلی ایجاد گرما هستند. کربن و هیدروژن در فرایند احتراق هر دو با اکسیژن ترکیب می‌شوند و حرارت تولید می‌کنند. از جمله مهم‌ترین آزمایش‌های مربوط به سوخت می‌توان به آزمایش مربوط به محاسبه‌ی کمیت ارزش گرمایی سوخت توسط بمب کالری‌سنج اشاره کرد. برای اطمینان از دقت کافی دستگاه، نه تنها تجهیزات دستگاه باید بر اساس استاندارد تولید شده باشد بلکه برای جلوگیری از خطاها ای انسانی، باید روند آزمایش نیز بر اساس استاندارد ASTM - D۲۴۰<sup>۲۶</sup> باشد. با توجه به این موضوع، نمونه‌ی بمب کالری‌سنج طراحی شده نیز مطابق همین استاندارد است که با استفاده از آن می‌توان با دقت بالا ارزش حرارتی سوخت مورد نظر را تعیین کرد. به این ترتیب بمب کالری‌سنجی برای تعیین دقیق ارزش حرارتی سوخت‌های مایع به کار می‌رود، که برای محاسبه‌ی ارزش حرارتی دستگاه از رابطه‌ی ۲ استفاده شده است:

$$E = \frac{Q_1 M_1 + Q_2 M_2 - M_w C_w}{\Delta T} \quad (2)$$

جدول ۵. اطلاعات مربوط نانوسوخت - مازوت.

نام سوخت	نانونذره/ماده (ppm)	غلظت	نام سوخت	نانونذره/ماده (ppm)
اکسید آلومینیوم	۱۰۰۰	MA <sub>۱۰۰۰</sub>	اکسید آلومینیوم	۱۰۰۰
اکسید سریم	۱/۲		اکسید سریم	۱/۲
اکسید زیرکونیوم	۱/۲	MACeZC ۱/۲	نانونوله کربنی چند دیواره	
دیزل	۶	(٪ حجمی)	دیزل	۶
سورفکنانت	۰/۰۶	(٪ حجمی)	سورفکنانت	۰/۰۶
اکسید آلومینیوم	۶۰		اکسید آلومینیوم	۶۰
اکسید سریم	۶۰		اکسید سریم	۶۰
نانونوله کربنی چند دیواره	۱۲	MACeZC <sub>۱۲</sub>	نانونوله کربنی چند دیواره	۱۲
دیزل	۶	(٪ حجمی)	دیزل	۶
اکسید آلومینیوم	۱۳		اکسید آلومینیوم	۱۳
اکسید سریم	۱۳		اکسید سریم	۱۳
اکسید زیرکونیوم	۱۳	MACeZC <sub>۱۳</sub>	نانونوله کربنی چند دیواره	
نانونوله کربنی چند دیواره	۱۳		نانونوله کربنی چند دیواره	۱۳
دیزل	۶	(٪ حجمی)	دیزل	۶
سورفکنانت	۰/۰۶	(٪ حجمی)	سورفکنانت	۰/۰۶

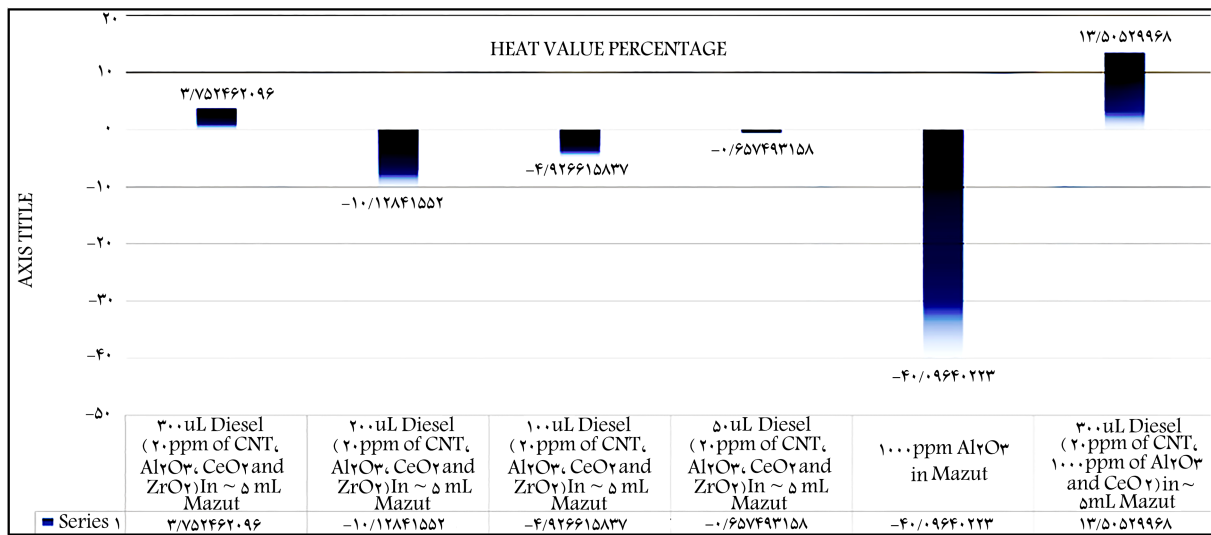


شکل ۷. دستگاه رئومتر استفاده شده برای مطالعه کمی خواص رئولوژیکی نانوسیال.

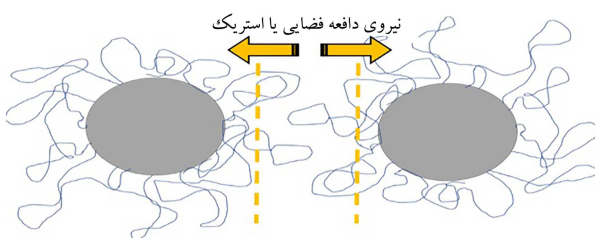
نشان می‌دهد در کنار ساختارهای احتراقی و حرارتی از پراهمیت‌ترین آنالیزهایی است که ارائه‌ی آنها می‌تواند شرایط احتراقی - حرارتی را به صورت کامل تأیید کرده و نمونه‌ی نهایی بهینه را به ما ارائه کند. این ساختارها باعث رصد کامل نمونه‌ها و ساختارهای نانوذرات و امولسیون‌ها و نانوسیالات طراحی شده از نظر پایه‌ی تراست.

## ۱۷. خواص رئولوژیکی: گرانزوی و تنفس

به منظور بررسی تأثیر نانوذرات بر خواص سیالاتی سوخت، مثل گرانزوی و همچنین تشخیص برشی، آزمایش رئومتری با دستگاه نشان داده در شکل ۷ انجام شده است. از آن‌جا که نانوذرات پخش شده در نمونه‌ی سوخت، سبب ایجاد تغییرات ویژه در خواص سیال می‌شوند و امکان تغییر رفتار مایع از حالت سیال نیوتونی به سیال غیر نیوتونی را دارند، اندازه‌گیری گرانزوی توسط ویسکومنتر سیالات نیوتونی امکان‌پذیر نبود.



شکل ۸. نمودار تغییر درصد ارزش حرارتی مازوت خالص و نانوسوخت - مازوت.



شکل ۹. تصویر شماتیک پایداری ذرات به علت چسبندگی هیدروکربن‌های دراز زنجیر و ایجاد پایداری انعطاف‌ناپذیر.

نمونه‌گیری از سه قسمت بالایی، میانی و انتهایی ظرف حاوی نانوسوخت بوده و نتایج نشان از یکسان بودن ارزش حرارتی و به تبع آن یکنواختی پراکندگی ذرات در سوخت تهیه شده است. یکنواختی، عدم تهشیفی و به هم چسبیدن نانوذرات می‌تواند به دلیل گرانوی بسیار بالای مازوت و کاهش حرکت برآونی ذرات باشد. هرچه نانوذرات در محیط با گرانوی بالاتری پراکنده شوند احتمال برخورد ذرات به یکدیگر و تشکیل ذرهی بزرگ‌تر نیز کاهش می‌یابد. همچنین وجود انواع هیدروکربن‌های دراز زنجیر در سوخت مازوت پیش‌بینی می‌شود؛ تعدادی از این هیدروکربن‌های دراز زنجیر روی سطح نانوذرات چسبیده شده و عملکردی شبیه به مواد فعال سطح ایجاد کرده و سبب پایداری انعطاف‌ناپذیر نانوسوخت - مازوت شود. شکل ۹ به طور شماتیک عدم نزدیک شدن نانوذرات به یکدیگر به علت چسبیدن شدن هیدروکربن‌های دراز زنجیر روی سطح نانوذرات را نشان می‌دهد. ارزش حرارتی نمونه MACeZC<sub>١,٢</sub> نیز ٣,٧٥٪ رشد داشته و پیش‌بینی می‌شود دلیل کاهش ارزش حرارتی آن نسبت به نمونه‌ی بهیمه (MACe<sub>٤,٦</sub>) است.

- غلظت پایین نانوذرات: کاهش غلظت نانوذرات سبب کاهش خاصیت کاتالیستی و بهبود سوخت مازوت شده است؛

- وجود نانوذره‌ی اکسید زیرکونیوم: در پژوهش‌های پیشین نیز استفاده از اکسید زیرکونیوم سبب کاهش ارزش حرارتی سوخت شده است.

بر اساس مشاهدات آزمایشگاهی محفظه‌ی احتراق بمب کالری‌سنجی پس از تکمیل فرایند احتراق، تفاوت قابل ملاحظه‌ی بین دو نمونه مازوت خالص و نانوسوخت - مازوت وجود دارد. این امر نشان‌دهنده‌ی بهتر سوختن نانوسوخت تولیدی و همچنین کاهش آلاینده‌های ناشی از احتراق سوخت است. چنان که در

جدول ٦. نتایج حاصل از اندازه‌گیری ارزش حرارتی مازوت خالص و نانوسوخت - مازوت.

سوخت	ارزش حرارتی برحسب $MJ/kg$	تغییر ارزش حرارتی نسبت به مازوت خالص (%)
مازوت خالص	٣٩/٩٤	-
MA <sub>١,٠٠</sub>	٣٧/٩٢	-٥/٥
MACeZC <sub>١,٢</sub>	٤٢/٢٨	٣/٧٥
MACe <sub>٤,٦</sub> C <sub>١٢</sub>	٤٢/٠٠٤	١٠/١٧
MACeZC <sub>١٣</sub>	٤٢/١٨	١٥/٦٢

در این رابطه  $E$  ظرفیت کالری‌سنج برحسب  $K/J$ ،  $Q_١$  ارزش حرارتی سوخت برحسب  $M_١/j$ ،  $M_٢/j$  جرم سوخت مایع برحسب گرم،  $Q_٢$  ارزش حرارتی سیم احتراق از جنس کادمیم (اینجا معادل  $١٤٠٠ kJ/g$ ،  $١٤٠٠$  گرم) بوده است، میزان افزایش ( $\Delta T$  درجه حرارت پس از رسیدن به تعادل،  $M_w$  جرم آب درون پوسته محفظه و  $C_w$  ظرفیت گرمایی ویژه‌ی آب برحسب ژول بر کیلوگرم درجه کلوین است. بعد از کالیبره کردن سیستم بمب حرارتی و محاسبه‌ی ظرفیت کالری‌سنج گرمای آزاد شده ناشی از احتراق سوخت از فرمول ۳ قابل محاسبه است:

$$Q = \frac{E\Delta T - \sum Gd}{G} \quad (3)$$

که در آن  $\sum Gd$  میزان حرارت ایجاد شده توسط سایر افزودنی‌ها (موادی که نمی‌باشد به حالت کالیبراسیون اضافه شده‌اند) برحسب ژول و  $G$  وزن نمونه سوخت برحسب گرم است. نتایج حاصل از اندازه‌گیری ارزش حرارتی نانوسوخت - مازوت مطابق اطلاعات جدول ٦ حاکی از افزایش ١٣,٥٪ آن نسبت به ارزش حرارتی مازوت خالص است برای نمونه بهیمه MACe<sub>٤,٦</sub> C<sub>١٢</sub> است. چنان که پیش‌تربیان شد به سبب خواص ویژه‌ی ظاهری و فیزیکی مازوت، بررسی عملی پایداری نانوذرات اضافه شده به درون سوخت امکان‌پذیر نیست. لذا فرایند اندازه‌گیری ارزش حرارتی پس از گذشت ٢٤ ساعت از تهیه‌ی نانوسوخت انجام شده است. در نمودار شکل ٨ در واقع میزان تغییر درصد ارزش حرارتی مازوت خالص و نانوسوخت - مازوت در نمونه‌ها ارائه شده است. همچنین به منظور بررسی تهشیفی و پراکندگی ذرات

جدول ۸. پارامترهای بهینه‌ی اجرایی مقایسه‌ی سوخت.

Results	استاندارد	واحد	Test Item
۰,۸۹		$g/cm^3$	Density at ۱۵°C
۲/۳۴۲	D ۷۰۴۲	$cSt(mm^2/s)$	Kinematic Viscosity at ۱۰°C
۴۵,۹۳	D ۲۴۰	$MJ/kg$	H. heat value
۴۳,۰۷			L. heat value
۰,۰۳	D ۱۸۹	Wt%	Carbon residue
۰,۵۱	D ۱۲۹	Wt%	Sulfur Content
%۳۸	D ۴۸۲	Wt%	Ash Content
۳۸	D ۶۳۰۴	mg/kg	Water Content
۵۶	D ۹۳	°C	Flash point
-۱۲	D ۹۷	°C	pour Point
-	D ۱۵۰	-	Color
Non Corrosive	D ۱۳۰	-	Copper Corrosion for ۳hr@ ۱۰۰°C

جدول ۹. جدول تغییرات کیفیت سوخت مازوت بعد از افزودن نانومولسیون.

Results	استاندارد	واحد	Test Item
۰,۹۴۹		$g/cm^3$	Density at Amb. Temp. (۲۹,۶°C)
D ۷۰۴۲			Kinematic Viscosity at ۵۰°C
۱۴۴,۵		$cSt(mm^2/s)$	
۴۲,۷۸	D ۲۴۰	$MJ/kg$	H. heat value
۴۱,۰۵			L. heat value
۷,۸۱	D ۱۸۹	Wt%	Carbon residue
۳,۱۱	D ۱۲۹	Wt%	Sulfur Content
۰,۰۶	D ۴۸۲	Wt%	Ash Content
Trace	D ۹۶	Vol%	Water and sedi.
۶۱	D ۹۳	°C	Flash point
-۳	D ۹۷	°C	pour Point

## ۹. بحث و تحلیل نتایج

پس از طراحی آزمایشات و انجام آزمایش‌های تکمیلی جدول نهایی با توجه به آزمایش‌های انجام شده و بررسی‌های صورت گرفته بر ساختار سوخت پایه و ساختار نانosoخت‌های ساخته شده قابل ارائه است و می‌توان ملاحظه کرد که این محصولات نمونه‌های تولیدی تغییرات بسیار زیادی با نمونه‌های پایه ایجاد کرده‌اند که می‌توانند در پیشبرد بهبود عملکرد تجهیزات نیروگاهی و کاهش آلیندگی محیط زیست کمک کنند. در جدول ۸ اطلاعات به تفکیک سوخت دیزل قابل مشاهده است که تقریباً بهبودی ۱۸ درصدی در مهم‌ترین پارامتر یعنی «ارزش حرارتی» آن دیده می‌شود. در جدول ۹ نیز مشخصات سوخت احتراقی مازوت بعد از افزودن نانومولسیون مورد



شکل ۱۰. تفاوت میزان دوده در دو حالت مازوت خالص و نانosoخت - مازوت در محفظه احتراق.

جدول ۷. نتایج حاصل از اندازه‌گیری خواص حرارتی دیزل خالص و مازوت خالص و نانosoخت - مازوت.

حرارتی جابجایی $\frac{W}{m \cdot K}$	ضریب هدایت $\frac{W}{m^2 \cdot K}$	سوخت
۵۸,۷۹	۰,۱۵۲	دیزل خالص
۱۲۹,۶۸	۰,۰۲۰۵	مازوت خالص
۱۶۵,۳۰	۰,۰۳۵	MA <sub>۱۰۰۰</sub>
۱۶۶,۸۱	۰,۰۷۷۲	MACeZC <sub>۱۲</sub>
	۰,۰۹۸۴	MACe <sub>۶۰</sub> C <sub>۱۲</sub>
	۰,۰۹۹۳	MACeZC <sub>۱۲</sub>

تصویر شکل ۱۰ ملاحظه می‌شود میزان دوده در حالت احتراق نانosoخت بسیار کم‌تر از مازوت خالص بوده که در واقع این موضوع به علت احتراق بهتر محصول نانosoخت ناشی از جذب اکسیژن اضافی و اثر نانوکاتالیستی نانوذرات مورد استفاده در محفظه احتراق نسبت به حالت سوخت پایه است. نمونه‌های آزمایش‌های حرارتی نانوسیالات پایه سوختی که معطوف به ضریب هدایت حرارتی و ضریب انتقال حرارت جایه جایی است در کنار آزمایش‌های احتراقی می‌توانند منجر به بهترین انتخاب نهایی باشد. زیرا ممکن است یک نمونه شرایط احتراقی بسیار مناسب داشته باشد اما خواص حرارتی مناسب از خود ارائه ندهد که در این صورت در سیستم‌های فرایندی و نیروگاهی این عدم تطابق موجب عدم دریافت تطابق بهینه است. چنان که از جدول ۷ بر می‌آید، مازوت و دیزل خالص به لحاظ حرارتی تفاوت بسیاری دارند که با افزودن نمونه‌های امولسیونی ساخته شده به مازوت پایه خواص هدایت حرارتی آن نیز همانند مسائل احتراقی بهبود یافته و بهترین کیفیت خود رسانیده است. همچنین در خصوص این پارامتر میان بهبود کیفیت سوختی و حرارتی تطابق وجود دارد که می‌توان امیدوار بود در دیگر پارامتر حرارتی نیز بهبود داشته باشد. در ستون دیگری از جدول یاد شده دیده می‌شود که این تغییرات خواص هدایت جایه جایی با توجه به محاسبات انجام شده با توجه به پارامترهای انتخابی افزایش یافته که تطابق کامل تمامی پارامترهای حرارتی احتراقی را نشان می‌دهد که این مورد نمایانگر انتخاب درست نانوذرات است که در حین بهبود احتراق و پایداری باعث افزایش خواص حرارتی شده است.

شرح کامل محدوده‌ی ایده‌آل پارامترهای استاندارد صنعتی که در مراحل مختلف مورد آزمایش قرار گرفته، در جداول ۱۱ ارائه شده است. همچنین ترکیب درصد اجزاء تشکیل‌دهنده‌ی نانو دیزل در جدول ۱۱ قابل مشاهده است.

نتایج آنالیزهای مربوط به خصوصیات عنصری نانو دیزل در جدول ۱۲ قابل مشاهده است.

## ۱۰. نتیجه‌گیری

استفاده از نانوذرات هیبریدی معلق برای سوخت‌های بر پایه مازوت همانند نتایج سوخت نانو دیزل بهبود در خواص حرارتی و احتراق ایجاد کرده است. نتایج این مطالعه نشان‌دهنده‌ی آن است که نمونه‌های بهینه‌ی نانosoخت مازوت و نانosoخت دیزل تمام خواص سوخت ایده‌آل برای استفاده در فرایند احتراقی را داشته و می‌تواند جایگزین مناسبی برای سوخت‌های مازوت و دیزل خالص باشد. با توجه به این موضوع که میزان افزایش ارزش حرارتی سوخت دیزل به میزان کیفیت اولیه‌ی سوخت پایه (خالص) و ترکیبات آن در فصول مختلف سال بستگی داشته، به همین جهت میزان بهبود ارزش حرارتی با توجه به نتایج آنالیزهای ارائه شده می‌تواند بین ۱۴٪<sup>۰</sup> تا ۱۸٪<sup>۵</sup> متغیر باشد. در خصوص مازوت نیز به علت مدت زمان دوام نمونه در طی شش ماه و استفاده از لایه‌های بالایی مازوت در مخازن نگهداری و ساخت نمونه‌ی نانومازوت، ارزش حرارتی نمونه‌ی پایه (خالص) ممکن است اندکی کمتر از مازوت تازه شده و در نتیجه نانومازوت نیز کاهش داشته است. با این حال نانومازوت تولید شده نسبت به مازوت خالص ارزش حرارتی بالاتری معادل حدود ۱۳٪<sup>۱</sup> / داشته و این نشان از تأثیر مثبت افزودن نانوذرات اکسید فلزی و نانولله‌های کربنی چندین باره در احتراق بهتر سوخت دارد. همچنین با انجام محاسبات مربوط به قیمت تمام شده برای ساخت نمونه‌های نانosoخت مازوت و دیزل این نتیجه‌گیری حاصل می‌شود که حتی در صورت خردباری مواد اولیه با ارز آزاد، هزینه‌ی نهایی محصول در مقایسه با قیمت سوخت پایه بسیار ناچیز بوده و حداقل ۲۰٪<sup>۰</sup> الی ۳۰٪ درصد افزایش قیمت سوخت پایه قابل پیش‌بینی است که با تولید انبوه مکمل‌های هیبریدی قابل کاهش است و لذا از لحاظ اقتصادی انجام این طرح می‌تواند مزیت اقتصادی بالای داشته باشد. در تهیه‌ی نانosoخت دیزل، روش پراکنده‌سازی ذرات به صورت دو مرحله‌یی صورت گرفت و نانوذرات پس از توزیع، به همراه ماده‌ی پایدار کننده درون سوخت ریخته شده و پس از اختلاط کامل از دستگاه فراصوتی به منظور پراکنده‌سازی نهایی ذرات استفاده شده است. از نانو دیزل تهیه شده در این طرح می‌توان مستقیماً به عنوان محصول سوختی استفاده کرد. سوخت دیزل به کار رفته در این آزمایش از گازوئیل مورد استفاده در خودروهای دیزلی موجود در مراکز سوخت‌رسانی تهیه شده است.

به این ترتیب، تمامی نتایج و مشخصه‌های سوختی در محدوده‌ی ایده‌آل یک ماده‌ی سوختی مورد استفاده در صنایع نیروگاهی بوده و در برخی از خصوصیات بهبود یافته است.

## تقدیر و تشکر

مطالعات مربوط به این پژوهه از حمایت مالی شرکت مادر تخصصی تولید نیرو برق حرارتی و حمایت علمی پژوهشگاه نیرو برخوردار شده است که بدین وسیله قدردانی می‌شود.

جدول ۱۰. مقایسه‌ی ارزش حرارتی سوخت پایه (خالص) دیزل و مازوت با نانosoخت‌های تولیدی.

سوخت	ارزش حرارتی جدید	تغییر ارزش حرارتی نسبت به	نano سوخت پایه	MJ/kg
دیزل خالص	-	-	-	۴۰,۲۸
D – ACS <sub>۱۰</sub> (نانو دیزل)	۴۵,۹۳	۱۴٪ <sup>۰</sup> ۲	-	-
مازوٽ خالص	۳۸,۶	-	-	-
M – ACeZC <sub>۱۲</sub> (نانو مازوت)	۴۳,۷۸	۱۳٪ <sup>۱</sup> ۱	-	-

جدول ۱۱. مشخصات سوخت نانو دیزل.

نمونه	سوخت پایه	نano سوخت	غلظت (ppm)
اکسید سیلیسیوم	دیزل	D – ACS <sub>۱۰</sub>	۱۰۰
اکسید آلمینیوم	دیزل	D – ACS <sub>۱۰</sub>	۱۰۰
نانولله‌های کربنی چند دیواره <sup>۱</sup>	-	-	۱۰۰

۱. Multi Wall Carbon None Tube (MWCNT)

جدول ۱۲. نتایج آنالیز عنصری نانو دیزل بر حسب ppm.

Test	Result	Test	Result
Mo	۰٪	Fe	۰٪
Zn	۰٪	Cr	۰٪
P	۰٪	Al	۲۵
Ca	۰٪	Cu	۰٪
Ba	۰٪	Pb	۰٪
Mg	۰٪	Sn	۰٪
Si	۱۳٪ <sup>۵</sup>	Ni	۰٪
Na	۸٪ <sup>۲</sup>	Ti	۰٪
B	۰٪	Ag	۰٪
V	۰٪		

طراحی دیده می‌شود که اعداد بهبود یافته کاملاً قابل مشاهده‌اند. از طرف دیگر، نتایج حاصل از آزمایش تغییر ارزش حرارتی سوخت نانومازوت و نانو دیزل نسبت به ارزش حرارتی سوخت پایه در جدول ۱۰ قابل مشاهده است.

مشخصات فنی نانosoخت‌های تولید شده: مشخصات نانosoخت‌های بهینه با

## پانوشت‌ها

۱. مصرف ویژه سوخت (Specific Fuel Consumption) عبارت است از اندازه‌گیری بازده یا راندمان سوخت هر موتور محرکه یا محفظه احتراق که باعث احتراق می‌شود و اینزی یا توان حاصل را تولید می‌کند. در واقع به عنوان تعریف عبارت است از میزان مصرف سوخت تقسیم بر توان تولید شده.
۲. نقطه‌ی اشتعال یا درخش (Flash Point) پایین‌ترین درجه دمایی است که در آن از ماده، بخاری قابل احتراق ساطع می‌شود.
۳. نقطه‌ی آتش (Fire Point) یا سوخت اطلاق می‌شود، که آتش آن برای حداقل ۵ ثانیه پس از احتراق با شعله باز ادامه داشته باشد.
۴. فروسن (Ferrocene) با فرمول شیمیایی  $\text{Fe}_2\text{H}_{10}\text{C}$ ؛ که جرم مولی آن ۱۸۶،۰ گ/mol و شکل ظاهری این ترکیب، پودر نارنجی روشن است.
۵. Acacia Concinna Biodiesel
۶. Hybrid NanoMaterials
۷. Biomass
۸. Cetane Value
۹. Unburned Hydro Carbons (UHC)
۱۰. Lubrication
۱۱. نفت کوره یا مازوت که به انگلیسی Mazut است، یکی از هیدروکربن‌های نفتی است که در مراحل پالایش نفت خام پس از فلتا، پزین و نفت سفید به دست می‌آید و چون سیار نگ است به نام نفت سیاه نیز خوانده می‌شود. این ماده ارزان‌ترین ماده سوختی برای کوره‌ها، حمام‌ها و تورنازوی‌ها، موتورهای دیزلی دریابی و برخی نیروگاه‌ها است که کیفیت بسیار پایین و ویسکوزیته بالایی دارد.
۱۲. Combustion
۱۳. Vaporization
۱۴. Ignition
۱۵. CI Engines
۱۶. Statistical Experimental Design
۱۷. Reversal Flame
۱۸. نانوذرات اکسید آلومینیمیوم گاما می Nano Al<sub>2</sub>O<sub>3</sub> Gamma مهم‌ترین نانواساختار آلومینیومی‌ها بیشتر به عنوان نانوکاتالیست در صنایع مختلف نفت، ساختهای کامپوزیتی برای هوا و فضا، پوشش‌های عایق و پایداری حرارتی مورد استفاده قرار می‌گیرد، گاما آلومینیومیا -Al<sub>2</sub>O<sub>3</sub>- γ مزومت‌خلخل است که دارای نظم ساختاری و توزیع باریک اندازه حفرات هستند. گاما آلومینیومیا به دلیل دارا بودن مساحت سطح زیاد بیشترین کاربرد را در صنعت کاتالیست دارد.
۱۹. Unburned Hydr Carbon (UHC)
۲۰. قطعه‌یی به نام منیفولد (Manifold) در پیشرانه سیستم احتراق درون سوز قلر گرفته که به دو نوع ورودی، هوا و خروجی یا دود تقسیم شده و ظایف مختلفی دارد.
21. Dongle
22. Spindle
23. Slurry Liquids
24. Shear Rate
25. Tension
26. Replication

## منابع (References)

1. Saxena, V., Kumar, N. and Saxena, V.K. "A comprehensive review on combustion and stability aspects of metal nanoparticles and its additive effect on diesel and biodiesel fuelled C.I. engine", *Renewable and Sustainable Energy Reviews*, **70**, pp. 563-588 (2017).
2. Shaafi, T., Sairam, K., Gopinath, A. and et al. "Effect of dispersion of various nanoadditives on the performance and emission characteristics of a CI engine fuelled with
- diesel, biodiesel and blends-A review", *Renewable and Sustainable Energy Reviews*, **49**, pp. 563-573 (2015).
3. Kasper, M., Sattler, K., Siegmann, K. and et al. "The influence of fuel additives on the formation of carbon, during combustion", *J Aerosol Science*, **30**, pp. 217-225 (1999).
4. Lissianski, V.V., Maly, P.M. and Zamansky, V.M. "Utilization of iron additives for advanced control of NOx emissions from stationary combustion sources", *Industrial Engineering Chemical Research*, **40**(15), pp. 3287-3293 (2001).
5. Vishal, S., Niraj, K., Kumar, S.V. and et al. "Experimental investigations for rheological characteristics of TiO<sub>2</sub> nanoparticles doped diesel, biodiesel fuel blends for use in compression ignition engine", *In IOP Conference Series: Materials Science and Engineering*, **691**, pp. 1-10 (2019).
6. Guru, M., Karakaya, U., Altiparmak, D. and et al. "Improvement of diesel fuel properties by using additives", *Energy Conversion Management*, **43**, pp. 1021-1025 (2002).
7. Shaafi, T. and Velraj, R. "Influence of alumina nanoparticles, ethanol and isopropanol blend additive with diesel-soybean biodiesel blend fuel, combustion, engine performance and emissions", *Renew Energy*, **80**, pp. 655-663 (2014).
8. Hosseini, S.H., Taghizadeh-Alisarai, A., Ghobadian, B. and et al. "Effect of added alumina as nano-catalyst to diesel-biodiesel blends on performance and emission characteristics of CI engine", *Energy*, **124**, pp. 543-552 (2017).
9. Gumus, S., Ozcan, H., Ozbey, M. and et al. "Aluminum oxide and copper oxide nanodiesel fuel properties and usage in a compression ignition engine", *Fuel*, **163**, pp. 80-87 (2016).
10. Sivakumar, M., Sundaram, N.S., Ramesh-Kumar, R. and et al. "Effect of aluminum oxide nanoparticles blended pongamia methyl ester on performance, combustion and emission characteristics of diesel engine", *Renewable Energy*, **116**, pp. 518-526 (2018).
11. Hosseini, S.H., Taghizadeh-Alisarai, A., Ghobadian, B. and et al. "Performance and emission characteristics of a CI engine fueled with carbon nanotubes and diesel-biodiesel blends", *Renewable Energy*, **111**, pp. 201-213 (2017).
12. Soukht Saraee, H., Taghavifar, H. and Jafarmadar, S. "Experimental and numerical consideration of the effect of CeO<sub>2</sub> nanoparticles on diesel engine performance and exhaust emission with the aid of artificial neural network", *Applied Thermal Engineering*, **113**, pp. 663-672 (2017).
13. Debbarma, S. and Dev Misra, R. "Effects of iron nanoparticle fuel additive on the performance and exhaust emissions of a compression ignition engine fueled with diesel and biodiesel", *Journal of Thermal Science and Engineering Applications*, **10**, pp. 1002-1009 (2018).
14. El-Seesy, A., Hassan, H. and Ookawara, S. "Effects of graphene nanoplatelet addition to jatropha biodiesel-diesel mixture on the performance and emission characteristics of a diesel engine", *Energy*, **147**, pp. 1129-1152 (2018).

15. Sungur, B., Topaloglu, B. and Ozcan, H. "Effects of nanoparticle additives to diesel on the combustion performance and emissions of a flame tube boiler", *Energy*, **113**, pp. 44-51 (2016).
16. Kouravand, S. and Kermani, A.M. "Clean power production by simultaneous reduction of NOx and SOx contaminants using mazut nano-emulsion and wet flue gas desulfurization", *Journal of Cleaner Production*, **201**, pp. 229-235 (2018).
17. Smirnov, V.V., Kostritsa, S.A., Kobtsev, V.D. and et al. "Experimental study of combustion of composite fuel comprising n-decane and aluminum nanoparticles", *Combustion and Flame*. **162**, pp. 3554-3561 (2015).
18. Kannaiyan, K. and Sadr, R., "The effects of alumina nanoparticles as fuel additives on the spray characteristics of gas-to-liquid jet fuels", *Applied Thermal and Fluid Science*. **87**, pp. 93-103 (2017).
19. Marikkar, N., Vierling, M., Aboujaib, M. and et al. "Soot reduction in gas turbine combustors using oxidation catalyst additives", *ASME Turbo Expo: Turbine Technica Conference and Exposition Proceedings*, **4A**, Combustion Fuels and Emissions, Canada (2015).
20. Hales, D. "Renewables global status report", In REN21 Secretariat. Paris (2018).<https://www.ren21.net>.
21. Gharehghani, A., Asiaei, S., Khalife, E. and et al. "Simultaneous reduction of CO and NOx emissions as well as fuel consumption by using water and nano particles in diesel-biodiesel blend", *Journal of Cleaner Production*, **210**, pp. 1164-1170 (2019).
22. Ghanbari, M., Najafi, G., Ghobadian, B. and et al. "Performance and emission characteristics of a CI engine using nano particles additives in biodiesel-diesel blends and modeling with GP approach", *Fuel*, **202**, pp. 699-716 (2017).
23. Khalife, E., Tabatabaei, M., Demirbas, A. and et al. Impacts of additives on performance and emission characteristics of diesel engines during steady state operation", *Progress in Energy and Combustion Science*, **59**, pp. 32-78 (2017).
24. Soudagar, M.E.M., Nik-Ghazali, N.N., Abul Kalam, M. and et al. "The effect of nano-additives in diesel-biodiesel fuel blends: a comprehensive review on stability, engine performance and emission characteristics", *Energy Conversion and Management*, **178**, pp. 146-177 (2018).
25. Mehregan, M. and Moghiman, M. "Effects of nano-additives on pollutants emission and engine performance in a urea-SCR equipped diesel engine fueled with blended-biodiesel", *Fuel*, **222**, pp. 402-406 (2018).
26. Mehta, R.N., Chakraborty, M. and Parikh, P.A. "Nanofuels: combustion, engine performance and emissions", *Fuel*, **120**, pp. 91-97 (2014).
27. Örs, I., Sarikoç, S., Atabani, A.E. and et al. "The effects on performance, combustion and emission characteristics of DICl engine fuelled with TiO<sub>2</sub> nanoparticles addition in diesel/biodiesel/n-butanol blends", *Fuel*, **234**, pp. 177-188 (2018).
28. Praveen, A., Lakshmi Narayana Rao, G. and Balakrishna, B. "Performance and emission characteristics of a diesel engine using calophyllum inophyllum biodiesel blends with TiO<sub>2</sub>nanoadditives and EGR", *Egyptian Journal of Petroleum*, **27**(4), pp. 731-738 (2018).
29. Rashedul, H.K., Masjuki, H.H., Kalam, M.A. and et al. "The effect of additives on properties, performance and emission of biodiesel fuelled compression ignition engine", *Energy Conversion and Management*, **88**, pp. 348-364 (2014).
30. Rai, R.K. and Sahoo, R.R. "Impact of different shape based hybrid nano additives in emulsion fuel for exergetic, energetic, and sustainability analysis of diesel engine", *Energy*, **214**, (1 January 2021). <https://doi.org/10.1016/j.energy.2020.119086>.
31. Kegl, T., Kralj, A.K., Kegl, B. and et al. "Nanomaterials as fuel additives in diesel engines: a review of current state, opportunities, and challenges", *Progress in Energy and Combustion Science*, **83** (March 2021). <https://doi.org/10.1016/j.pecs.2020.100897>.
32. Rai, R.K. and Sahoo, R.R. "Effect of CNT and Al<sub>2</sub>O<sub>3</sub>-CNT hybrid nano-additive in water-emulsified fuels on DICl engine energetic and exergetic performances", *Journal of Thermal Analysis and Calorimetry*, **147**, pp. 3577-3589 (2022). <https://doi.org/10.1007/s10973-021-10746-x>.
33. Çakmak, A., Yeşilyurt, M.K., Erol, D. and et al. "The experimental investigation on the impact of n-octanol in the compression-ignition engine operating with biodiesel/diesel fuel blends: exergy, exergo-economic, environmental analyses", *Journal of Thermal Analysis and Calorimetry*, (27 April 2022). <https://doi.org/10.1007/s10973-022-11357-w>.
34. Narges Karimi Abiyazani, N.K., Pirouzfar, V. and Chia-Hung Su. "Enhancing engine power and torque and reducing exhaust emissions of blended fuels derived from gasoline-propanol-nano particles", *Energy*, **241** (2022). <https://doi.org/10.1016/j.energy.2021.122924>.
35. Sabet Sarvestani, N., Abbaspour Fard, M.H., Tabasizadeh, M. and et al. "Synthesis and evaluation of catalytic activity of NiFe<sub>2</sub>O<sub>4</sub> nanoparticles in a diesel engine: an experimental investigation and multi-criteria decision making approach", *Journal of Cleaner Production*, **365** (2022). <https://doi.org/10.1016/j.jclepro.2022.132818>.
36. Gad, M.S., Abdel Aziz, M.M. and Kayed, H. "Impact of different nano additives on performance, combustion, emissions and exergetic analysis of a diesel engine using waste cooking oil biodiesel", *Propulsion and Power Research*, **11**(2), pp. 209-223 (June 2022). <https://doi.org/10.1016/j.jppr.2022.04.004>.